

# بررسی انواع کلازن جفت های ایرانی به منظور تعیین میزان استاندارد برای کلازن های جفتی

رقیه عباسعلی پور کبیره<sup>۱</sup>، حسین محجوب<sup>۲</sup>

یافته / سال ششم / شماره ۱۰

## چکیده

**مقدمه:** تغییرات در شکل کلازن های بافتی همراه با بعضی اختلالات ژنتیکی و متابولیکی گزارش شده است. این تغییرات با اندازه گیری زنجیره های کلازن از طریق الکتروفوروز بر پایه ژل پلی آکریل آمید در حضور سدیم دودسیل سولفات (SDS-PAGE) به طور کمی تخمین پذیر است. این مطالعه به منظور یافتن ارتباط بین کلازن های جفت انسانی طبیعی و ترم ایرانی و تعیین میزان استاندارد برای کلازن های جفتی میزان کلازن، توتال پروتئین، درصد زنجیره های کلازن ها و حرکت الکتروفوروتیکی صورت گرفته است.

**مواد و روشها:** بدین منظور برای استخراج کلازن نوع IV تعداد پنج جفت طبیعی و ترم (۳۸ هفته ای) فقط یک بار و برای استخراج کلازن نوع I+III تعداد پنج جفت طبیعی و ترم (۳۸ هفته ای) دو بار تحت هضم آنزیمی قرار گرفتند. مراحل استخراج کلازن ها با الکتروفوروز بر پایه ژل پلی آکریل آمید در حضور سدیم دو دسیل سولفات کنترل شد.

**یافته ها:** در این بررسی معلوم شد بین میزان کلازن نوع IV جفت و پروتئین توتال، مقدار ضریب همبستگی ( $r = 0.993$ ) و بین وزن جفت بعد از شستشوی کامل با میزان کلازن نوع I + III ضریب همبستگی ( $r = 0.77$ ) دارد.

**نتیجه گیری:** نتایج حاصل از مطالعه نشان داد که میزان زنجیره  $\alpha 1$  کلازن نوع III حدود ۲۳ درصد کلازن تام است.

**واژه های کلیدی:** کلازن نوع IV، کلازن نوع III + I، الکتروفوروز بر پایه ژل پلی آکریل آمید، جفت انسان

۱- عضو هیئت علمی گروه بیوشیمی دانشکده پزشکی دانشگاه علوم پزشکی همدان

۲- عضو هیئت علمی گروه آمار زیستی دانشکده پیداشت، دانشگاه علوم پزشکی همدان

**مقدمه**

انواع مختلف کلائز در *invivo* شناسایی شده است و در دهه اخیر از بسیاری از محققین جفت انسان به عنوان ماده اولیه جهت استخراج و مشخص کردن انواع مختلف کلائز ورد استفاده کرده اند (۱). جفت که یک ارگان واسطه بین مادر و جنین است به علت غنی بودن از کلائز توجه پژوهشگران را به خود جلب کرده است (۱۱،۱۲). نظر به اینکه بعد از اولین هضم آنزیمی کلائز نوع IV و بعد از دومین هضم آنزیمی کلائز نوع III + I جفت انسان استخراج می شود و حرکت الکتروفورتیکی آن در الکتروفوروز بر پایه ژل پلی آکریل آمید در حضور سدیم دودسیل سولفات ۳ (SDS-PAGE) <sup>۳</sup> قابل بررسی است (۹)، کلائز نوع IV و کلائز نوع III + I تعدادی جفت که از نظر علم مامایی بعد از زایمان طبیعی و ترم تشخیص داده شده استخراج و از نظر میزان کلائز خالص، میزان پروتئین کل و حرکت الکتروفورتیکی بررسی کرده تا بتوانیم همانند پروتئین های سرم در صد معینی را بطور نسبی بیان کنیم و یک میزان استاندارد برای کلائز های جفت گزارش نماییم.

**مواد و روشها****مواد شیمیایی:**

اتانل ۹۸٪، اسید فرمیک ۹۹٪، کوماسی بریلیانت بلو Dihydrat G-250، اسید سیتریک و سیترات سدیم نوع Crystalin، استاندارد پروتئین با وزن ملکولی بالا، پیسین با فعالیت mg Fipunit /۰.۷ سود سوز آور و کلرید سدیم از جمله موادی بود که همه از شرکت سیگما<sup>۴</sup> تهیه شد.

**شستشو و آماده نمودن بافت:**

برای انجام هر گونه کار بر روی جفت لازم است ابتدا شستشوی کافی روی آن صورت گیرد تا خون آن کاملاً پاک شود. چون کلائز پروتئین نامحلول و تقریباً پایدار است

بافت همبند بافتی است که در ساختمان اعضای بدن شرکت دارد و مسئول فرم و شکل بدن حیوانات است (۱). کلائز ها که فراوان ترین پروتئین بدن پستانداران هستند (۲) ساختمان بافت همبند را مستحکم کرده و در شکل گیری، شیمیاتکسی، چسبندگی سلولی، تجمع و پیوستگی پلاکت ها برای هموستاز و ترومبوژنز دخالت دارند (۳،۴،۵). بافت همبند و جزء مهم آن کلائز به علت توزیع فراوان بافتی اهمیت خاصی دارد (۲).

اختلال در هر یک از واکنش های شیمیایی که در ایجاد ساختمان کامل کلائز نقش دارند، سبب پیدایش خواص مکانیکی غیر طبیعی می شود (۳). بیماری های ژنتیکی کلائز به علت تظاهرات بالینی متعدد و ایجاد اختلالات مهم در بدن توجه فراوان محققین را جلب کرده است. این بیماری ها یا به علت اختلال در واکنش های شیمیایی بیوسنتر کلائز و نقص در تکمیل ساختمانی کلائز است و یا به علت کاهش در مقدار سنتز کلائز و کمبود کلائز های بافت همبند می باشد (۴). در بیماری ارثی استئوژنز ناقص<sup>۱</sup> در بافت های همبند (استخوان، پوست، تاندون، چشم، گوش و دندان) کلائز نوع I کاهش می یابد و فیبروبلاست های جدا شده از پوست نسبت به فیبرو بلاست های نرمال مقدار کلائز نوع III بیشتری در invitro سنتز می کنند (۳،۵). در حالی که در سندرم اهلرز-دانلوس<sup>۲</sup> نوع IV میزان سنتز کلائز نوع III در بافت های همبند (پوست و سیستم عروقی) کاهش می یابد. در نوزادان نارس به علت کمبود آنزیم هیدروکسی پرولین اکسیداز، دفع ادراری هیدروکسی پرولین زیاد است و کلائز استخوان از دست می رود. از جمله تغییرات آسیب شناختی همراه با فرآیند پیری، از دست رفتن کلائز و پروتئوگلیکان ها است. در سندرم زودرس پیری، ظرفیت رشد فیبرو بلاست ها کاهش می یابد.

1-Osteogenesis Imperfecta 2-Ehlers-Danlos type IV  
3-Sodium Dodesyl Poly Acryl amid Gel Electrophoresis  
4. Sigma

سانتریفوژ جدا گردید و توتال پروتئین آن را به وسیله روش برادفورد<sup>۱</sup> اندازه گیری شد (۱۰).

#### استخراج کلازن نوع I+III از بافت جفت:

برای جداسازی کلازن نوع I+III بافت جفت دو بار تحت هضم آنزیمی قرار می گیرد (۱۱). خلاصه روش به شرح زیر است:

۱۰۰ گرم از پپسین نوع Fipunit/gr در ۷۰ میلی لیتر اسید فرمیک ۵/۰ مولار حل شد و بافت مورد نظر برای اولین هضم آنزیمی به مدت ۶ ساعت در آن قرار گرفت. سپس ۱۰/۰ گرم از همان آنزیم پپسین برای دومین هضم آنزیمی به محلول اضافه شد. هر دو مرحله هضم آنزیمی در محیط ۴ درجه سانتی گراد و در حال تکان خوردن مخلوط انجام گرفت. بعد از آن که یک شب از دومین هضم آنزیمی گذشت، مخلوط با دور ۱۰۰۰ g به مدت یک ساعت سانتریفوژ شد.

۶۵ میلی لیتر مایع رویی جدا شد و سپس پروتئین های موجود در محلول رویی با افزایش غلظت نمک رسوب داده شد. ۴/۶۲ گرم نمک در محیط ۴ درجه سانتیگراد و در حال تکان خوردن اضافه گردید تا غلظت نمک در محلول به ۱/۲ مولار برسد. بعد از ۶ ساعت تکان خوردن، رسوب پروتئینی حاصله که حاوی کلازن نوع III + I بود را با سانتریفوژ با دور ۱۰۰۰۰ g و به مدت یک ساعت از محلول جدا گردید و پروتئین کل آن به روش برادفورد اندازه گیری شد (۱۰).

#### الکتروفورز بر پایه ژل سدیم دودسیل سولفات پلی آکریل آمید (SDS-PAGE)

نمونه های مراحل مختلف استخراج و تخلیص با الکتروفورز بر پایه ژل ۵٪ پلی آکریل آمید در حضور سدیم دودسیل سولفات (SDS-PAGE) (به روش Laemilli (۱۱) کنترل شد. برای بررسی باندهای پروتئینی، ژل های الکتروفورز شده در دستگاه دانسیومتر LKB-2202 در طول موج ۶۲۸/۵ نانومتر اسکن گردید.

1. Bradford

بنابراین شستشو را می توان در محیط ۴ درجه سانتیگراد و در زمان طولانی انجام داد (۹). خلاصه روش به شرح زیر است: ابتدا بند ناف، کیسه آمنیون و کوریون را از جفت جدا کرده و سپس آن را با یک بیستوری به قطعات بسیار کوچک تقسیم کردیم. جفت قطعه قطعه شده را برای شستشو به ترتیب در محلولهای زیر قرار دادیم :

- ۲۰۰ میلی لیتر محلول مایع حاوی ۸ درصد اتانول، نمک کلرید سدیم به غلظت ۶ گرم بر لیتر و مقداری سلولز PH=۷/۲
- محلول سیترات سدیم ۵/۰ مولار و PH=۸/۲
- محلول اسید سیتریک ۵/۰ مولار و PH=۸/۰
- محلول اسید فرمیک ۵/۰ مولار

بعد از انجام مراحل شستشو بافت های سفید شده بدست آمد که آماده هضم آنزیمی بودند.

#### استخراج کلازن نوع IV از بافت جفت:

برای جداسازی این نوع کلازن، بافت جفت فقط یک بار تحت هضم آنزیمی قرار می گیرد (۹). خلاصه روش به شرح زیر است:

۱۰۰ گرم از پپسین نوع mg /Fipunit در ۰/۷ میلی لیتر اسید سیتریک ۵/۰ مولار حل شد و بافت های شستشو داده شده برای هضم آنزیمی به مدت ۲۴ ساعت در آن قرار گرفت، عمل هضم آنزیمی در محیط ۱۰ درجه سانتیگراد و در حال تکان خوردن محلول انجام گرفت. بعد از ۲۴ ساعت، ۲۰ میلی لیتر آب مقطر برای خنثی کردن اثر پروتازی پپسین به آن اضافه شد و محلول با اضافه کردن سود ۴ نرمال از حالت اسیدی به ۷/۵ PH تغییر پیدا کرد و بعد از ۲۴ ساعت سانتریفوژ گردید. رسوب دور ریخته شد و محلول رویی که حاوی کلازن نوع IV بود، نگه داشته شد. رسوب گیری پروتئین ها با افزایش غلظت نمک به ترتیب در دو PH خنثی و اسیدی انجام شد. در ۵/۷ PH غلظت نمک به ۱/۲ مولار و در ۸/۲ PH غلظت نمک به ۰/۶ مولار رسید. بعد از طی مراحل فوق رسوب حاصله که حاوی کلازن نوع IV بود با

IV به قطعاتی با وزن ملکولی متفاوت شکسته می شود. پیسین، پروتئین های دیگر جفت را حل می کند و به سوپر ناتانت می آورد. بنابراین پروتئین اندازه گیری شده بعد از هضم آنزیمی، مجموع پروتئین کلازن و سایر پروتئین ها است (جدول ۱).

#### یافته ها

آنژیم پیسین باعث حل شدن کلازن غشای پایه و جدا شدن آن از بافت جفت می شود. چون پیسین نواحی غیر مار پیج سه گانه کلازن را پروتولیز می کند، زنجیره های  $\alpha_1$  و  $\alpha_2$  کلازن نوع

جدول ۱ : وزن بافت جفت ها از ابتدا تا مرحله آخر تخلیص

فاصله اطمینان ٪۹۵	انحراف معیار	میانگین	وزن بافت (گرم)						مراحل مختلف پروسه استخراج و تخلیص کلازن نوع IV			
			۵	۴	۳	۲	۱	وزن اولیه جفت				
۱۰	۰	۱۰	۱۰	۱۰	۱۰	۱۰	۱۰	وزن جفت سفید شده بعد از آخرين مرحله شستشو	وزن جفت بعد از هضم آنزیمی	وزن رسوب پروتئین حاصل از افزایش غلظت نمک تا ۱/۲ مولار		
(۷/۱۳ و ۸/۸۶)	۰/۶۹	۷/۹۹	۸/۵۸	۷/۷۵	۸/۷۷	۷/۸۴	۷/۰۴					
(۷/۵۹ و ۸/۶۳)	۰/۴۲	۸/۱۱	۸/۷۲	۸/۰۰	۸/۲۳	۸/۰۴	۷/۵۶	وزن رسوب پروتئین حاصل از افزایش غلظت نمک تا ۱/۲ مولار				
(۰/۴۰ و ۰/۷۸)	۰/۱۵	۰/۵۹	۰/۵۲	۰/۵۷	۰/۴۱	۰/۶۲	۰/۸۳					
(۰/۰۷ و ۰/۴۷)	۰/۰۹	۰/۳۶	۰/۲۴	۰/۳۲	۰/۳۴	۰/۴۶	۰/۴۳	وزن رسوب پروتئین حاصل از افزایش غلظت نمک تا ۰/۶ مولار				
(۰/۰۲ و ۰/۴۲)	۰/۰۸	۰/۳۲	۰/۲۰	۰/۲۹	۰/۳۱	۰/۴۰	۰/۳۹					

وجود ندارد. برای بررسی زنجیره های کلازنی، کلازن نوع ۴ به دست آمده از ۵ جفت طبیعی و ترم را روی ۵٪ آکریل آمید الکتروفورز SDS-PAGE کردیم و ژل ها را با کوماسی بریلانت بلورنگ آمیزی نمودیم (شکل ۱ و ۲).

بین محصول نهایی و مقدار پروتئین تام ضریب همبستگی برابر با  $R = ۰/۹۹۳$  بوده است که نشانه ضریب همبستگی بالا است. نتایج درصد باند های پیتیدی کلازن نوع ۴، پنج جفت طبیعی و ترم در جدول ۲ آمده است.

جدول ۲- درصد باند های پیتیدی کلازن نوع IV پنج جفت طبیعی

شماره نمونه	درصد باند های پیتیدی			و ترم
	باند سوم	باند دوم	باند اول	
۱	۳۸/۰۳	۲۱/۴۵	۴۰/۵۱	
۲	۵۸/۵۰	۳۵/۵	۵/۹۶	
۳	۸۲/۲۱	۱۶/۲۷	۱/۵۱	
۴	۱۵/۸۹	۶۱/۵۰	۲۲/۵۹	
۵	۴۸/۹۶	۴۷/۸۹	۳/۱۳۲	



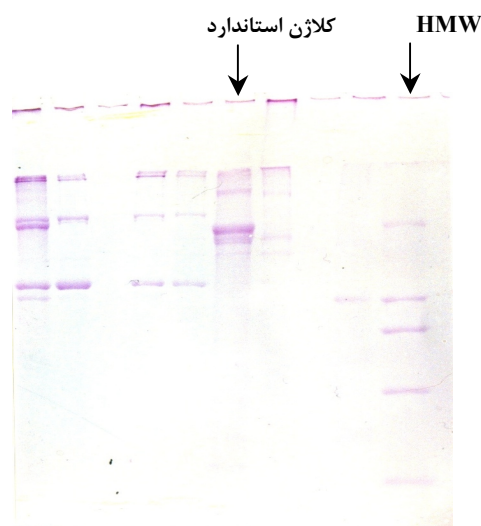
شکل ۱- الگوی الکتروفورزی کلازن نوع IV از جفت های طبیعی و ترم روی ۵٪ با رنگ آمیزی کوماسی بریلانت بلو

محاسبات آماری نتایج نشان داد که در نمونه های بررسی شده بین میزان کلازن ها (نوع ۴) و درصد باند های پیتیدی رابطه ای

ژل های الکتروفورز شده را اسکن و درصد زنجیره های پپتیدی را به دست آوردیم (جدول ۳).

نتایج حاصل از استخراج کلاژن نوع I + III در جدول ۳ آمده است. نتایج نشان می دهد بین وزن بافت بعد از آخرین مرحله شستشو و محصول نهایی ضریب همبستگی برابر با ۷۷/۰ بوده است.

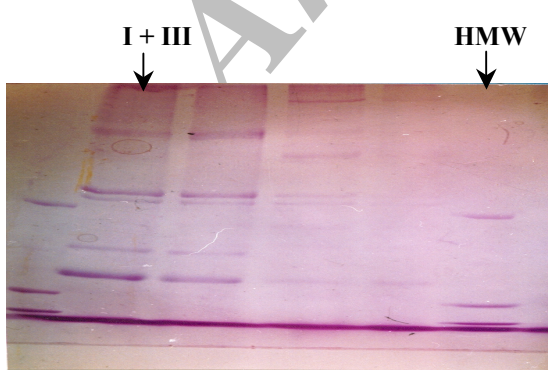
زنجیره های کلاژن های به دست آمده را به صورت ذکر شده فوق الکتروفورز و رنگ آمیزی نمودیم (شکل ۴ و ۵). بعد از اسکن نمودن ژل ها در صد باند ها را به دست آوردیم (جدول ۴). محاسبات آماری نتایج نشان داد که در نمونه های بررسی شده میزان زنجیره  $\alpha_1$ (III) حدود ۲۳ درصد کلاژن تام است.



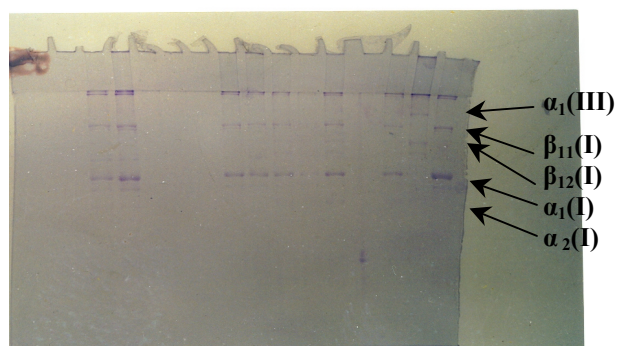
شکل ۲- مقایسه کلاژن نوع IV استخراج شده و کلاژن نوع IV استاندارد و پروتئین با وزن ملکولی بالا(HMW)

جدول ۳ : وزن بافت جفت ها از ابتدا تا مرحله آخر تخلیص

وزن اولیه جفت	مراحل مختلف فرآیند استخراج و تخلیص کلاژن نوع I+III									
	وزن بافت (گرم)	۱	۲	۳	۴	۵	۱۰	۱۰	۱۰	%۹۵
وزن جفت سفید شده بعد از آخرین مرحله شستشو	۷/۳۶	۸/۲۱	۷/۰۱	۷/۱۲	۸/۰۵	۷/۵۵	۰	۱۰	۱۰	(۶/۸۷ و ۸/۲۳)
وزن جفت بعد از دومین هضم آنزیمی	۷/۵۶	۸/۴۰	۷/۱۲	۷/۲۳	۸/۲۳	۷/۷۱	۰/۵۸	۷/۹۹ و ۸/۴۳	۷/۵۵	(۶/۰۸ و ۶/۳۱)
وزن رسوب پروتئین حاصل از افزایش غلظت غلظت نمک تا ۱/۲ مولار	۶/۳۴	۵/۱۰	۵/۱۰	۵/۳۵	۵/۷۰	۵/۷۰	۰/۴۹	۰/۰۸ و ۰/۳۱	۰/۵۵	(۰/۰۲۸ و ۰/۰۶۵)
میزان پروتئین تام بعد از افزایش غلظت نمک تا ۱/۲ مولار mg/ml	۰/۰۲۰	۰/۰۵۱	۰/۰۵۱	۰/۰۵۵	۰/۰۵۰	۰/۰۴۷	۰/۰۱۵	۰/۰۲۸ و ۰/۰۶۵	۰	۱۰



شکل ۴- مقایسه کلاژن نوع I + III استخراج شده با کلاژن I + III استاندارد و پروتئین با وزن ملکولی بالا (HMW)



شکل ۳- الگوی الکتروفورزی کلاژن نوع I + III از جفت های طبیعی و ترم روی ژل ۵٪ با رنگ آمیزی کوماسی بربلاتن بلو

بریلاتن بلو با روش ایمونو بلاستینگ ترکیب شده است. در این روش ترکیبی تغییرات در شکل کلازن نوع III بافت ها همراه با افزایش سن بررسی شده است (۲۱).

در مطالعه حاضر به منظور یافتن ارتباط بین کلازن های جفت و تعیین میزان استاندارد برای کلازن های جفتی، میزان کلازن، پروتئین کل، درصد زنجیره های کلازن ها و حرکت الکتروفورتیکی تعدادی جفت طبیعی و ترم ایرانی را بررسی کردیم. در ده نمونه بررسی شده انتظار داشتیم نسبتی بین کلازن ها وجود داشته باشد و بتوانیم همانند پروتئین های سرم درصد معینی را بطور نسبی بیان نماییم، محاسبات آماری نتایج نشان داد که در نمونه های بررسی شده بین میزان کلازن ها (نوع ۴) و درصد باند های پیتیدی رابطه ای وجود ندارد؛ ولی میزان زنجیره  $\alpha_1$  (III) حدود ۲۳ درصد کلازن تمام است و بین وزن بافت بعد از آخرین مرحله شستشو و محصول نهایی (کلازن نوع I + III) ضریب همبستگی برابر با ۰/۷۷ است. با این حال به نظر می رسد باید نمونه های بیشتری را بررسی کنیم تا بتوانیم یک میزان استاندارد برای کلازن های جفتی معلوم نماییم و یا میزان متفاوت انواع کلازن ها را نتیجه گیری کنیم و با مطالعه حالات فیزیولوژیکی کودک در سال های رشد اهمیت هر یک از آنها را در بافت همبند بررسی و رابطه ای بین افزایش یا کاهش انواع کلازن ها و تظاهرات بالینی نتیجه گیری کنیم.

## References

- Smith JR. Pathophysiology, 2nd ed. Philadelphia; WB. Saunders, 1985; 611- 653
- Smolenski KA, Fallon A, Light N. Investigation of the parameters for reversed-phase high- performance liquid chromatography of collagen types I and III. J Chromatography, 1984; 287: 29-44
- Blum S. Polyacrylamid gel electrophoresis of native collagen. J Chromatography, 1990; 530: 432-437

جدول ۴- درصد باند های پیتیدی کلازن نوع III + I پنج جفت

شماره نمونه باندهای پیتیدی	درصد باندهای پیتیدی				
	$\alpha_2$ (I)	$\alpha_1$ (I)	$\beta_{12}$ (I)	$\beta_{11}$ (I)	$\alpha_1$ (III)
۱	۱۲/۳۹	۲۰/۴۳	۱۲/۸۱	۱۳/۸۴	۴۰/۴۵
۲	۱۹/۳۶	۳۵/۸۷	۱۰/۸۵	۱۲/۷۰	۲۱/۲۰
۳	۱۷/۴۰	۵۰/۹۹	۵/۷۰	۵/۷۸	۲۰/۱۱
۴	۲۴/۱۸	۵۳/۹۲	۲/۱۸	۲/۲۶	۱۷/۴۳
۵	۱۸/۵۸	۴۲/۷۸	۱۲/۸۰	۹/۲۹	۱۶/۵۲

## بحث

تغییرات در شکل کلازن های بافتی همراه با بعضی اختلالات ژنتیکی و متابولیکی گزارش شده است که این تغییرات با اندازه گیری زنجیره های کلازن از طریق الکتروفورز بر پایه ژل پلی آکریل آمید در حضور سدیم دودسیل سولفات (SDS-PAGE) به طور کمی تخمین پذیر است (۱۲). سال های زیادی است که الکتروفورز بر پایه ژل پلی آکریل آمید مناسب ترین و عملی ترین شیوه برای جدا کردن و تعیین کمیت زنجیره های آلفا کلازن به حساب می آید (۱۳). البته گزارشات جدید تر نشان داده اند که ممکن است HPLC جانشین مناسبی برای این کار باشد (۱۴، ۱۵، ۱۶). مدتنهاست که از اندازه گیری زنجیره های کلازن به دست آمده در الکتروفورز SDS-PAGE و رنگ آمیزی شده با کوماسی بریلاتن بلو برای مقایسه انواع کلازن در حالت طبیعی و غیر طبیعی استفاده می شود. در مطالعات تغییرات نسبت مقدار کلازن نوع I به III در نمونه های کوچک بیوپسی تاندون، عروق خونی و پلاگ های آترواسکلروز (۱۷)، مزیت اندازه گیری انواع کلازن در تعیین مراحل بعضی از بیماری ها مثل التهاب آلوئولی (۱۸)، افزایش قابل توجه میزان کلازن نوع ۱ و ۴ در بافت های غیر طبیعی کلیوی (۱۹) و هم چنین تعیین نسبت زنجیره های  $\alpha_1$ (I) +  $\alpha_1$ (II) به  $\alpha_1$ (III) در نمونه های بسیار کوچک بیوپسی شده در بررسی غضروف (۲۰) بحث شده است. در بعضی از گزارشات، برای تحلیل کلازن نوع ۳، روش الکتروفورز SDS-PAGE و رنگ آمیزی کوماسی

4. Chiang TM. Collagen-Platelet interaction. *J Thromb Res*, 1990; 59: 509-520
5. Kawamoto Y. Procoagulant activity of collagen. *J Biochem Biophys* 1990; 1053: 361-368
6. Lapierre CM, Nusgens BV. The extracellular matrix and its regulation. *Pathol Biol*, 1992 Feb;40(2):133-8.
7. Cabral WA, Mertts MV, Makareeva E. Type I collagen triplet duplication mutation in lethal osteogenesis imperfecta shifts register of alpha chains throughout the helix and disrupts incorporation of mutant helices into fibrils and extracellular matrix. *J Biol Chem*, 2003 Mar 21; 278(12): 10006-12
8. Yang Z, Yu X, Huang F, Xie H. The influence of type I collagen on the cell behavior of human embryonic periosteous osteoblasts. *Hua Xi Yi Ke Da Xue Xue Bao* 2001 Mar; 32(1): 1-4
9. Wang WM, Lee S, Steiglitz BM, Scott IC, Lebares CC, Alen ML, et al. Transforming growth factor-beta induces secretion of activated ADAMTS-2. A procollagen III N-proteinase. *J Biol Chem* 2003 May 23; 278(21): 19549-19557
10. Tiollier, Jermo. Fibroblast behavior on gels of type I and II human placental collagens. *Experimental cell research* 1990; 191: 95-104
11. Foidart JM, Tryggvason K, Robey PG, Liotta LA, Martin GR. Biosynthesis of type IV and V (alpha A-alpha B) collagens by human placenta. *Coll Relat Res*, 1981 Feb; 1(2): 137-50
12. Rajabi MR. Elevated tissue levels of collagenase during dilation of uterine cervix in human parturition. *Am. J. Obstet Gynecol*, 1990; 163: 499-505
13. عباسعلی پورکبیره، پاسالار، پ. و ملک نیا، ن. الگوی الکتروفورزی کلارن جدا شده از یک جفت نابالغ و مقایسه آن کلارن جفت بالغ. مجله علمی دانشگاه علوم پزشکی همدان سال نهم، شماره ۱، بهار ۱۳۸۱، شماره مسلسل ۲۳
14. Bradford MM. A rapid and sensitive method for the quantitation of microgram quantities of protein utilizing the principle of protein-dye binding. *Anal. Biochem*, 1976; 72: 248-254
15. Klasson S. The effect of tissue pretreatment and pepsin levels on the isolation of collagen from human placenta. *Collagen Relat Res* 1986; 6: 397-408
16. Laemmli UK. Cleavage of structural proteins during the assembly of the head of bacteriophage T4. *Nature*, 1970; 227: 680-685
17. Nakamura K, Inoue S, Abiko S, Aoki H, Takeo K. Improved separation of alpha chains of collagen type I, type III, and type V by non-interrupted electrophoresis using thioglycolic acid as a negatively charged reducer. *Electrophoresis*, 1989 Jan; 10(1): 29-33
18. Sokolov BP, Sher BM, Kalinin VN. Modified method for peptide mapping of collagen chains using cyanogens bromide-cleavage of protein within polyacrylamide gels. *Anal Biochem* 1989; 176: 365-367
19. Skinner SJ, Grego B, Hearn MT, Liggins GC. The separation of collagen alpha-chains by reversed-phase high-performance liquid chromatography. Comparison of column alkyl stationary phases and temperature effects. *J Chromatogr*. 1984 Jun; 8(308):111-119
20. Van der Rest M, Fietzek PP. A comprehensive approach to the study of collagen primary structure based on high-

- performance liquid chromatography. Eur J Biochem, 1982 Jul;125(3):491-496
21. Miller EJ, Narkates AJ, Niemann MA. Amino acid analysis of collagen hydrolysates by reverse-phase high-performance liquid chromatography of 9-fluorenylmethyl chloroformate derivatives. J Anal Biochem, 1990; 190: 92-97
22. Hanson AN, Bentley JP. Quantitation of type I to type III collagen ratios in small samples of human tendon, blood vessels, and atherosclerotic plaque. Anal Biochem, 1983 Apr 1; 130(1): 32-40.
23. Kirk JM, Heard BE, Kerr I, Turner-Warwick M, Laurent GJ. Quantitation of types I and III collagen in biopsy lung samples from patients with cryptogenic fibrosing alveolitis. Coll Relat Res. 1984 May; 4(3): 169-82.
24. Bellon G, Borel JP. Quantitative evaluation of collagen fractions separated by acrylamide gel electrophoresis: its application for collagen typing in normal and pathological tissues. J Chromatogr. 1988 Dec 9; 433: 81-94.
25. O'Driscoll SW, Commissio CN, Fitzsimmons JS. Type II collagen quantification in experimental chondrogenesis. Osteoarthritis Cartilage, 1995 Sep; 3(3): 197-203.
26. Takasago T, Nakamura K, Kashiwagi S, Inoue S, Ito H, Takeo K. Analysis of collagen type III by uninterrupted sodium dodecyl sulfate-polyacrylamide gel electrophoresis and immunoblotting: changes in collagen type III polymorphism in aging rats. Electrophoresis. 1992 Jun; 13(6): 373-8.